

同図-4のようになり、平面破壊領域については限界が存在し、その限界は地表面で $f_c = 0.8 \sim 0.9L$ である。そこで縦断破壊線について対数螺旋線に近似すると図中実線で示す曲線となりほぼ近似できることわかった。なお図中には Case A の場合の縦断破壊形状も示してあり、固定壁面の粗滑面に関連するほぼ同様の形状を示している。

なお $H_s = 3.4L$, $f_c/L = 0.9$ のこの曲線を次式に示す。

$$f_c/L = 2.535 \{ \cos \theta \exp(\theta \tan \phi) - 1.021 \}$$

$$f_c/L = 2.535 \{ \sin \theta \exp(\theta \tan \phi) - 1.155 \}$$
 二に $\phi = 40^\circ$, $40^\circ \leq \theta \leq 67.45^\circ$

4 平面破壊形状について

図-5には $(H_s - z)/L = 2.0$ の深さでの平面破壊形状を示した。この図中にも固定壁面を Case A のほぼ同深さでの平面破壊形状を示している。

これによると固定壁面の条件にはかわりなくほぼ同じ形状に差異は認められない。このことから Case A の場合の近似式をそのまま図中に示すと実線として示すようになり、地表面では壁中央でのライス長さ $f_c/L = 0.8 \sim 0.9$ 、と壁両端部を通る円弧に近似でき、各深さでの平面形状は縦断曲線の f_c と壁両端部を通り、地表面の円弧の中心座標を共有する楕円形に近似できることとなる。その時の近似式は $f_c/L = 0.9$ では次式となる。

$$\left\{ \left(\frac{f_c}{L} + 0.106 \right)^2 - 0.106^2 \right\} \left(\frac{z}{L} \right)^2 + \left(\frac{f_c}{L} + 0.106 \right)^2 = \left(\frac{f_c}{L} + 0.106 \right)^2$$

示す

以上今回の実験結果から泥壁面を持つ地盤の破壊土塊の大きさを近似した。その結果この土塊の大きさは固定壁面の粗面であるか滑面であるかにかわりなくほぼ変わらないこと確認できた。

すなわち破壊域のライス長の限界は $f_c/L = 0.8 \sim 0.9$ 破壊平面形状は円弧と楕円で、縦断破壊形状は対数螺旋線に近似出来る。なお泥壁が深くなると未破壊領域が存在し、 $H_s = 3.4 \sim 3.5L$ 以下限界深度であろう。今後この破壊土塊の理論的解明と、ここで確認された大きさを基として泥壁面へ作用する土圧算定へと結びつける。

参考文献 1) 吉田、浅川、松森；第12回工學部研究報告

概要集 pp. 1249~1352, 1977,

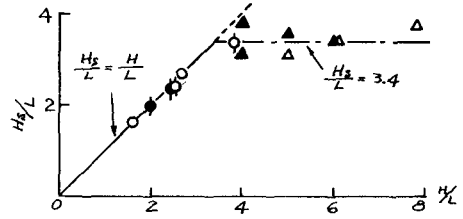


図-3 破壊限界深さ

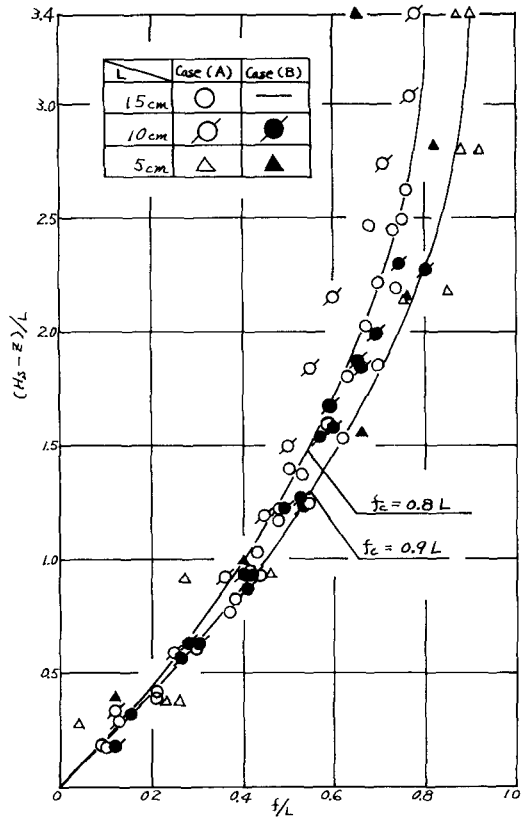


図-4 縦断破壊形状

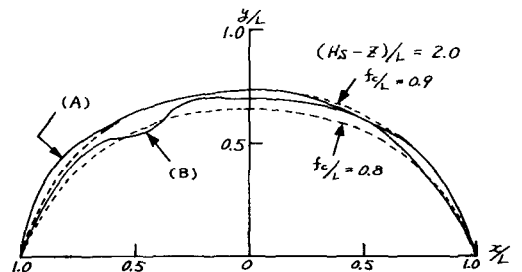


図-5 平面破壊形状